

УДК 532.54+536.252/421

ВЛИЯНИЕ «СТЕФАНОВСКИХ» ПОТОКОВ
ЗАТВЕРДЕВАЮЩЕГО РАСПЛАВА НА ПРОЦЕСС
ТЕПЛОВОЙ КОНВЕКЦИИ

П. Ф. Завгородний, И. Л. Повх, Г. М. Севостьянов

(Донецк)

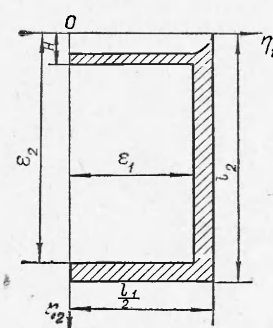
Результаты расчета, представленные графиками, показывают, что в начальный период затвердевания движение расплава полностью определяется усадкой на фронте кристаллизации. Эффект проявляется сильнее при меньших числах Грасгофа и больших числах Стефана. По мере уменьшения скорости затвердевания и температурного градиента в жидкой фазе развивается процесс естественной температурной конвекции. Результаты расчета сравниваются с экспериментом.

Известно, что тепловая конвекция жидкого ядра кристаллизующегося слитка оказывает существенное влияние на процессы формирования макроструктуры слитка. Для определения скоростей конвективного движения расплава авторами работы [1] был проведен ряд экспериментальных исследований, подтвердивших наличие перемешивания жидкого ядра до полной его кристаллизации. Аналогичные результаты дают и теоретические исследования [2, 3], выполненные в предположении одинаковой плотности жидкой и твердой фаз. В реальных условиях плотности жидкого и затвердевающего расплавов различны, поэтому на фронте кристаллизации возникают так называемые «стефановские» потоки, направление которых определяется отношением плотностей двух фаз.

В работе исследуется влияние усадочных явлений на характер тепловой конвекции. Рассматривается прямоугольная область вертикального попечного сечения с расплавом, начальная температура которого T_0 больше температуры кристаллизации. В момент времени $t > 0$ температура стенок полости скачком понижается до температуры кристаллизации расплава. От холодных границ формируется по квадратичному закону твердая фаза с направлением движения к центру полости. Предполагается, что конвективное движение обладает осевой симметрией относительно вертикальной оси $O\eta_2$, и дальнейшее изучение параметров тепловой конвекции производится в полости, ограниченной верхним, боковым и нижним фронтами затвердевания, и осью симметрии $O\eta_2$ (фиг. 1).

Для решения поставленной задачи записывается система уравнений Навье — Стокса, теплопереноса и неразрывности в безразмерном виде:

$$(1) \quad \frac{1}{Pr} \frac{\partial \bar{V}}{\partial \tau} + (\bar{V} \nabla) \bar{V} = -\nabla \pi + \Delta \bar{V} + l_g Gr \theta;$$



Фиг. 1

$$(2) \quad \frac{\partial \theta}{\partial \tau} + \operatorname{Pr}(\bar{\mathbf{V}} \nabla) \theta = \Delta \theta;$$

$$(3) \quad \bar{\nabla} \mathbf{V} = 0$$

с краевыми условиями

$$(4) \quad \bar{\mathbf{V}}|_{\tau=0}=0 \\ \theta|_{\tau=0}=1;$$

$$(5) \quad \theta|_{\eta_1=\varepsilon_1} \theta|_{\eta_2=H} = \theta|_{\eta_3=\varepsilon_2} = \frac{d\theta}{d\eta_1}|_{\eta_1=0} = 0;$$

$$(6) \quad V_1|_{\eta_1=0} = V_1|_{\eta_3=\varepsilon_3} = V_1|_{\eta_3=H} = V_2|_{\eta_1=\varepsilon_1} = \frac{dV_2}{d\eta_1}|_{\eta_1=0} = 0;$$

$$(7) \quad V_3|_{\eta_3=\varepsilon_3} = -St\varepsilon'_3; \quad V_1|_{\eta_1=\varepsilon_1} = -St\varepsilon'_1;$$

$$(8) \quad V_3|_{\eta_3=H} = L_1,$$

где $\varepsilon_i (i=1, 2, \dots)$ — относительная ширина жидкой зоны; в качестве характерного размера выбрана половина горизонтального размера полости ($l/2$); $\tau=t/t_0$ — безразмерное время (число Фруда); характерное время $t_0=l^2/4a$; a — коэффициент температуропроводности; L_1 — скорость опускания верхней корочки; $St=(\rho_1/\rho_2-1)/Pr$ — критерий Стефана; ρ_1, ρ_2 — плотности твердой и жидкой фаз соответственно; v — коэффициент кинематической вязкости; $\theta=(T-T_k)/(T_0-T_k)$ — безразмерная температура; T_k — температура кристаллизации; T_0 — начальная температура; $Pr=v/a$ — число Прандтля; $Cr=g\beta(T_0-T_k)l^3/8v^2$ — число Грасгофа; β — температурный коэффициент объемного расширения; $\pi=p/p_0$ — безразмерное давление; знак ' означает производную по времени τ .

В верхней части слитка наряду с формированием твердой корочки образуется усадочная раковина за счет подпитки расплавом бокового и нижнего фронтов затвердевания. Уравнение баланса расходов расплава на твердых границах имеет вид

$$(9) \quad L_1\varepsilon_1 = [St\varepsilon'_1(\varepsilon_3-H) + St\varepsilon'_3\varepsilon_1].$$

Разрешая это выражение относительно L_1 и подставляя в (8), получим

$$(10) \quad V_3|_{\eta_3=H} = St \left[\frac{\varepsilon_2-H}{\varepsilon_1} \varepsilon'_1 + \varepsilon'_2 \right].$$

Введем функцию тока ψ , связанную с компонентами скоростей V_1 и V_3 соотношениями

$$V_1 = \frac{\partial \psi}{\partial \eta_2}; \quad V_2 = -\frac{\partial \psi}{\partial \eta_1};$$

вихрь скорости $\bar{\varphi} = \operatorname{rot} \bar{\mathbf{V}}$ и зависящие от времени переменные

$$(11) \quad \zeta_1 = \frac{\eta_1}{\varepsilon_1}; \quad \zeta_3 = \frac{\eta_2-H}{\varepsilon_2-H},$$

отображающие прямоугольную область с подвижными границами на единичную область квадрата. Система уравнений (1) — (3) при этом при-

нимает вид

$$(12) \quad \frac{\partial \Phi}{\partial \tau} + \frac{1}{\varepsilon_1} \left[\frac{\text{Pr}}{(\varepsilon_3 - H)} \frac{\partial \psi}{\partial \zeta_3} - \zeta_1 \varepsilon'_1 \right] \frac{\partial \Phi}{\partial \zeta_1} - \frac{1}{(\varepsilon_3 - H)} \left[\frac{\text{Pr}}{\varepsilon_1} \frac{\partial \Phi}{\partial \zeta_1} + \zeta_3 (\varepsilon'_3 - H) + H' \right] \frac{\partial \Phi}{\partial \zeta_3} = \text{Pr} \Delta_1 \bar{\Phi} - \frac{R}{\varepsilon_1} \frac{\partial \theta}{\partial \zeta_1};$$

$$(13) \quad \frac{\partial \theta}{\partial \tau} + \frac{1}{\varepsilon_1} \left[\frac{\text{Pr}}{(\varepsilon_2 - H)} \frac{\partial \psi}{\partial \zeta_2} - \zeta_1 \varepsilon'_1 \right] \frac{\partial \theta}{\partial \zeta_1} - \frac{1}{\varepsilon_3 - H} \left[\frac{\text{Pr}}{\varepsilon_1} \frac{\partial \psi}{\partial \zeta_1} + \zeta_3 (\varepsilon'_3 - H') + H' \right] \frac{\partial \theta}{\partial \zeta_3} = \Delta_1 \theta;$$

$$(14) \quad \Delta \psi = -\varphi,$$

где

$$\Delta_1 = \frac{1}{\varepsilon_1^2} \frac{\partial^2}{\partial \zeta_1^2} + \frac{1}{(\varepsilon_3 - H)^2} \frac{\partial^2}{\partial \zeta_3^2}.$$

Для представления системы (12) — (14) в конечно-разностной форме вводятся координатная и времененная сетки:

$$\alpha_h = \{\zeta_1 = ih; \zeta_3 = mh; h = 1/I = 1/M; i = 1, 2, \dots, I; m = 1, 2, \dots, M\};$$

$$\tau_n = \left\{ \tau = \sum_n n \tau_{k_1} \tau_h = A \frac{h_2}{4}; 0 < A \leq 1; n = 1, 2, \dots \right\}.$$

Если использовать метод дробных шагов, то уравнения (12) и (13) после расщепления по осям координат $0\zeta_1$ и $0\zeta_3$ записутся в виде

$$(15) \quad \frac{\Phi_{i,m}^\wedge - \bar{\Phi}}{0,5\tau_h} = \frac{1}{\varepsilon_1} \left[ih\varepsilon'_1 + \frac{\text{Pr}}{(\varepsilon_2 - H)} \left(\frac{\partial \psi}{\partial \zeta_2} \right)_{i,m}^- \right] \left(\frac{\partial \Phi}{\partial \zeta_1} \right)_{i,m}^\wedge + \frac{\text{Pr}}{\varepsilon_1^2} \left(\frac{\partial^2 \Phi}{\partial \zeta^2} \right)_{i,m}^- - \frac{R}{2\varepsilon_1} \left(\frac{\partial \theta}{\partial \zeta_1} \right)_{i,m}^-;$$

$$(16) \quad \frac{\psi_{i,m}^+ - \Phi_{i,m}^\wedge}{\tau_h} = \frac{1}{(\varepsilon_3 - H)} \left[mh (\varepsilon'_3 - H) + H' + \frac{\text{Pr}}{\varepsilon_1} \left(\frac{\partial \psi}{\partial \zeta_1} \right)^- \right] \left(\frac{\partial \psi}{\partial \zeta_3} \right)^+ + \frac{\text{Pr}}{(\varepsilon_3 - H)^2} \left(\frac{\partial^2 \psi}{\partial \zeta_3^2} \right)_{i,m}^+ - \frac{R}{2\varepsilon_1} \left(\frac{\partial \theta}{\partial \zeta_3} \right)_{i,m}^-;$$

$$(17) \quad \frac{\theta_{i,m}^\wedge - \theta_{i,m}^-}{0,5\tau_h} = \frac{1}{\varepsilon_1} \left[ih\varepsilon'_1 + \frac{\text{Pr}}{(\varepsilon_3 - H)} \left(\frac{\partial \psi}{\partial \zeta_3} \right)_{i,m}^+ \right] \left(\frac{\partial \theta}{\partial \zeta_1} \right)_{i,m}^\wedge + \frac{1}{\varepsilon_1^2} \left(\frac{\partial^2 \theta}{\partial \zeta_1^2} \right)_{i,m}^\wedge;$$

$$(18) \quad \frac{\theta_{i,m}^+ - \theta_{i,m}^\wedge}{\tau_h} = \frac{1}{(\varepsilon_3 - H)} \left[mh (\varepsilon'_3 - H') + H' + \frac{\text{Pr}}{\varepsilon_1} \left(\frac{\partial \psi}{\partial \zeta_1} \right)_{i,m}^+ \right] \times \left(\frac{\partial \theta}{\partial \zeta_3} \right)^+ + \frac{1}{(\varepsilon_3 - H)^2} \left(\frac{\partial^2 \theta}{\partial \zeta_3^2} \right).$$

Уравнение Пуассона в удобном для итерации виде запишется

$$(19) \quad \psi_{i,m}^{s+1} = \psi_{i,m}^s + \omega_0 \left\{ \frac{1}{2[\varepsilon_1^2 + (\varepsilon_2 - H)^2]} [(\varepsilon_3 - H)^2 (\psi_{i-1,m}^{s+1} + \psi_{i+1,m}^3) + \varepsilon_1^2 (\psi_{i,m-1}^{s+1} + \psi_{i,m+1}^s) + \varepsilon_1^2 (\varepsilon_3 - H)^2 h^2 \varphi_{i,m}] - \psi_{i,m}^s \right\},$$

где ω_0 — параметр релаксации, определяемый выражением $\omega_0 = 2/(1 + \sin \pi h)$; S — номер итерации.

В уравнениях (15) — (18) обозначения $-$, \wedge , $+$ соответствуют n -му; $(n+1/2)$ -му; $(n+1)$ -му временными слоям.

Из условия (4) получаем

$$(20) \quad \psi|_{\tau=a} = \varphi|_{\tau=a} = 0; \quad \theta|_{\tau=a} = 1.$$

Разлагая функцию температуры в окрестности границы $\zeta_1=0$ с учетом условия (5), а также уравнения (17), получим

$$(21) \quad \theta_{0,m}^\wedge = \frac{2\tau_h}{h^2 + 2\tau_h} \left[\theta_{i,m}^\wedge + \frac{h^2}{2\tau_h} \theta_{0,m}^- \right].$$

Остальные граничные условия температуры выполняются точно. Для определения граничного условия для функции тока при $\zeta_3=0$ выражение (10) записывается в виде

$$-\frac{1}{\varepsilon_1} \frac{\partial \psi}{\partial \zeta}|_{\zeta_3=0} = St \left[\frac{\varepsilon_3 - H}{\varepsilon_1} \varepsilon_1' + \varepsilon_3' \right].$$

Интегрируя полученное выражение вдоль координаты ζ_1 и полагая постоянную интегрирования равной нулю, получаем

$$(22) \quad \psi_{i,0} = -St \left[\frac{\varepsilon_3 - H}{\varepsilon_1} \varepsilon_1' + \varepsilon_2' \right] \varepsilon_1 i h.$$

Аналогичным образом определяются функции тока на остальных границах:

$$(23) \quad \psi_{0,m} = 0; \quad \psi_{i,M} = St \varepsilon_3' i h;$$

$$(24) \quad \psi_{I,m} = -St \varepsilon_1' (\varepsilon_3 - H) m h.$$

Граничные условия для вихря скорости φ получены путем разложения функции тока на соответствующих границах с использованием условий (6), (22) — (24) и уравнения Пуассона (14):

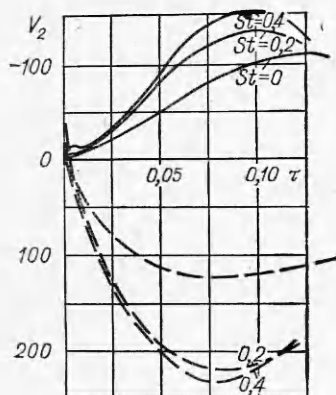
$$(25) \quad \varphi_{0,m} = 0; \quad \varphi_{i,n} = \frac{2}{h^2} (St \varepsilon_3 \varepsilon_1 i h - \psi_{i,M-1});$$

$$(26) \quad \varphi_{i,0} = -\frac{2}{h^2} \left\{ \left[St \left(\frac{\varepsilon_3 - H}{\varepsilon_1} \varepsilon_1' + \varepsilon_2' \right) \right] \varepsilon_1 i + \psi_{i,1} \right\};$$

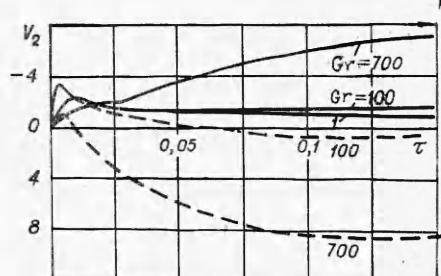
$$(27) \quad \varphi_{I,m} = -\frac{2}{h^2} [St \varepsilon_1' (\varepsilon_3 - H) m h + \psi_{I-1,m}].$$

Таким образом, задача (15) — (19) с краевыми условиями (20) — (27) сформулирована в конечно-разностном виде. Для численной ее реализации на ЭЦВМ «Днепр-21» был выбран интегро-интерполяционный метод, разработанный в [4]. В соответствии с этой же работой были определены прогоночные формулы и коэффициенты к ним. Для исследования выбрана полость с относительной высотой $l_2=4$. Число Прандтля во всех случаях оставалось постоянным, равным 0,224.

Как показывают результаты расчета, представленные на фиг. 2 (сплошные линии — восходящие потоки, прерывистые — нисходящие), развитие тепловой конвекции во времени условно можно разбить на три стадии. В интервале чисел $0 < \tau \ll \tau_1$ около фронта затвердевания наблюдается движение расплава в верхнюю часть полости. Длительность этой стадии, а также максимальные значения скоростей в этом интервале



Фиг. 2

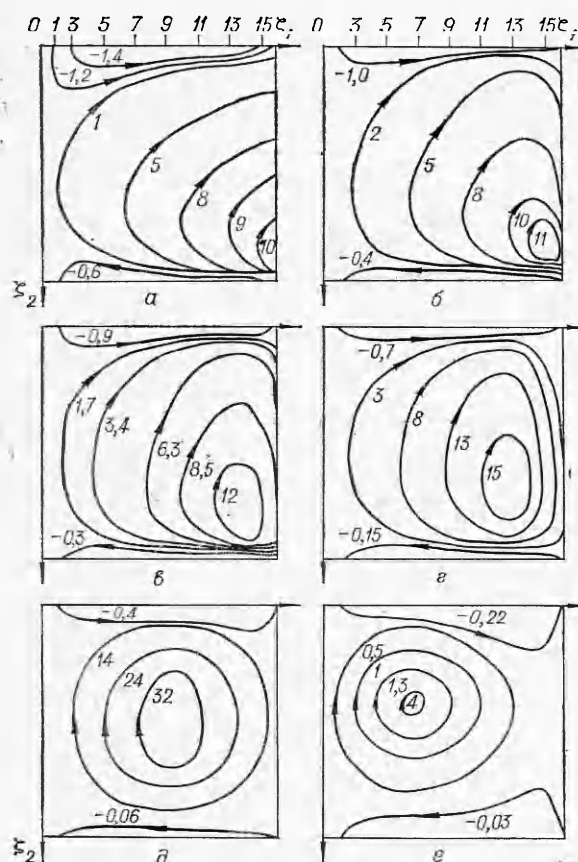


Фиг. 3

существенно зависят от значений чисел St , характеризующих степень усадки твердой фазы. При отсутствии усадки в жидкой области подобных особенностей не возникает (фиг. 2, кривая 0).

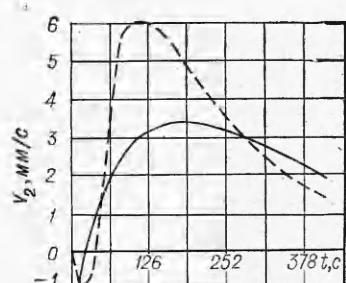
При уменьшении скорости роста твердой корочки в жидкой части слитка под действием температурного градиента получает развитие вторая стадия — стадия естественной температурной конвекции. В интервале чисел Фурье $\tau_1 \leq \tau \leq \tau_2$ происходит разгон конвективного движения, при этом в конце промежутка достигается максимальная скорость. Как показывают результаты расчета, увеличение усадки твердой фазы вызывает возрастание интенсивности перемешивания расплава при одновременном сокращении стадии разгона.

Третья стадия процесса ($\tau > \tau_2$) характеризуется уменьшением интенсивности перемешивания расплава по мере уменьшения его температуры и переходом в режим «ползущего» течения.



Фиг. 4

ПМТФ, № 2, 1975



Фиг. 5

Влияние чисел Грасгофа на процесс тепловой конвекции иллюстрирует фиг. 3 ($St=0,2$; сплошные линии — восходящие потоки; штриховые — нисходящие), откуда видно, что при малых числах Грасгофа ($Gr=1$) движение расплава определяется лишь усадочными явлениями на границах твердой фазы. С ростом числа Грасгофа сила конвективного движения ($Gr\theta$) становится определяющей процесс развития конвективного движения. Возрастание интенсивности тепловой конвекции сопровождается изменением длительности всех стадий.

Для понимания гидродинамических процессов, возникающих в кристаллизующемся жидкоком ядре, построены расчетные изолинии функции тока, анализ которых позволяет проследить динамику развития тепловой конвекции (фиг. 4, $St=0,5$; a, b, e, g, ∂, e для $\tau=0,03; 0,06; 0,02; 0,01; 0,09; 0,19$ соответственно).

Характерной особенностью рассматриваемых случаев является наличие в жидкой области трех самостоятельных зон, замкнутых на границах твердой фазы в начальный момент времени. В последующие моменты времени (см. фиг. 4, b) в нижнем углу полости начинает формироваться вихрь скорости, который «отмывается» в дальнейшем от границы опускающихся у фронта затвердевания расплавом (см. фиг. 4, e, g). Симметричное расположение вихря (см. фиг. 4, ∂) соответствует на фиг. 2 максимальному значению скорости. По мере опускания охлажденных слоев расплава в донную часть полости происходит смещение вихря скорости в область более высоких температур.

На фиг. 5 приведено сопоставление экспериментальной (штриховая линия) и расчетной (сплошная линия) компонент скорости V_2 при $Gr=-0,5 \cdot 10^5$; $Pr=8,8$; $St=0,1$. Эксперимент проведен на нафталине по методике работы [5]. Начальная стадия тепловой конвекции регистрировалась непрерывной киносъемкой. Относительная высота изложницы составляла $l_3=4$ при характерном размере $l_1/2=30$ мм.

Анализ показывает, что как расчет, так и эксперимент дают качественно одинаковую картину. Количественные различия следует отнести за счет трехмерности экспериментальной изложницы и большого количества растворенного в нафталине газа, который, выделяясь из затвердевшей фазы, способствовал формированию в жидкой фазе обратного движения.

Таким образом, «стефановские» потоки на границе твердо-жидкой фазы оказывают существенное влияние на интенсивность конвективного движения. Эффект тем заметнее, чем меньше числа Грасгофа и больше величина усадки.

Поступила 15 V 1974

ЛИТЕРАТУРА

1. Ефимов Б. А. и др. В кн.: Проблемы стального слитка. Вып. 4. М., «Металлургия», 1969. с. 93—95.
2. Самойлович Ю. А. «Изв. АН СССР. Металлы», 1969, № 2, с. 84—92.
3. Иодко Э. А., Завгородний П. Ф., Севостьянов Г. М. «Изв. АН СССР. Теплофиз. высоких темп.», 1971, № 5, т. 9, с. 975—979.
4. Самарский А. А., Введение в теорию разностных схем. М., «Наука», 1971.
5. Иодко Э. А. и др. «Изв. АН СССР. Металлы», 1971, № 2, с. 102—108.